

УДК 536.46

МНОГОЗОННОЕ ГОРЕНИЕ КОНДЕНСИРОВАННЫХ СИСТЕМ

*A. Г. Мержанов, Э. Н. Руманов, Б. И. Хайкин*

(Москва)

Горение конденсированных систем имеет в общем случае стадийный характер, и фронт горения является многозонным [1,2]. После исследования двухзонных моделей [3-5] стало ясно, что одна из зон тепловыделения при многозонном горении — ведущая. Скорость фронта равна скорости ведущей зоны, но при изменении параметров системы возможен переход ведущей роли от одной зоны к другой, а также слияние и расщепление зон.

Рассмотрено обобщение двухзонной задачи, позволяющее перейти к анализу сложного, многозонного фронта и показано, что для фронта с двумя реакциями (в конденсированной фазе и в газе) и диспергированием возможны всего три варианта расположения зон тепловыделения (два трехзональных и один двухзональный). Найдены все возможные типы зависимости скорости горения от глубины диспергирования.

*Модель горения.* Рассмотрим модель многозонного фронта, которая, по-видимому, описывает основные особенности горения многих конденсированных систем. Пусть в  $k$ -фазе (конденсированной фазе) идет реакция с тепловым эффектом  $Q_1$  и энергией активации  $E_1$  (предэкспонент  $k_1$ ). Газообразные продукты вступают во вторую реакцию с параметрами  $Q_2$ ,  $E_2$ ,  $k_2$ . В результате диспергирования доля  $\eta_d$  конденсированного вещества отделяется от горящей поверхности. Так как плотность тепловыделения для первой реакции резко падает при диспергировании, ее окончание в частицах  $k$ -фазы (в дыме) проходит на некотором расстоянии от поверхности образца при более высокой температуре. Поэтому и вторая реакция может проходить в два этапа. В то же время возможны различные варианты слияния этих зон.

Исследование описанного сложного фронта существенным образом опирается на результаты, относящиеся к двухзонным моделям, численный расчет и анализ которых проведены ранее [3-5]. Обсудим здесь задачу о двухзонном горении с точки зрения механизма перестройки фронта.

*Режимы управления, слияния и отрыва.* Экспоненциальная зависимость скорости химических реакций от температуры позволяет разделить фронт с одной реакцией на две зоны — тепловыделения и прогрева. По той же причине во фронте с несколькими реакциями возможны несколько зон тепловыделения. Каждая зона занимает узкий ( $\sim RT_i^2 / E_i$ ,  $T_i$  — температура в  $i$ -й зоне,  $E_i$  — энергия активации  $i$ -й реакции) по сравнению с полным изменением во фронте температурный интервал. При более высокой температуре реакция не идет, так как израсходованы исходные (для этой реакции) вещества, а при более низкой — пренебрежимо мала скорость реакции.

В промежутках между зонами тепловыделения поток тепла связан с температурой линейно (закон Михельсона), а в самих зонах резко меняется. Скачок теплового потока в  $i$ -й зоне реакции равен  $Q_i U$ , где  $Q_i$  — теплота реакции,  $U$  — поток массы (массовая скорость горения). Большая кривизна профиля температуры позволяет в зоне реакции приблизенно проинтегрировать уравнение теплопроводности, опустив конвективный член [6]. Интеграл запишем в виде

$$(Q_i U + q_i)^2 - q_i^2 = (Q_i \alpha_i)^2 a_i k_i e^{-E_i / RT_i} F_i \quad (1)$$

Здесь  $q_i$  — поток тепла, втекающий в зону реакции,  $T_i$  — температура в зоне,  $\rho_i$  — плотность,  $a_i$  — температуропроводность. Безразмерная величина  $F_i$ , принимающая малые значения, была введена Д. А. Франк-Каменецким [7] при описании однозонного горения. Малость  $F_i$  связана с малостью параметра  $\gamma_i = (RT_i^2 / E_i) (c/Q_i)$ . Точное определение всех  $F_i$  возможно лишь при решении (для всего фронта) системы из уравнения теплопроводности и уравнений, описывающих (многокомпонентную) диффузию исходных веществ, продуктов и полупродуктов. Для однозонного фронта в газе с реакцией  $n$ -го порядка

$$F = 2n! \gamma^{n+1}$$

Поскольку температурная зависимость  $F_i$  имеет степенной характер и, следовательно, слаба по сравнению с аррениусовским фактором  $\exp(-E_i / RT_i)$ , качественное исследование фронта возможно без учета изменений этих величин.

Неизвестными в (1) являются  $U$ ,  $q_i$  и  $T_i$ . Для  $N$  реакционных зон имеем  $N$  равенств типа (1) и  $N$  соотношений типа

$$(Q_i U + q_i) - q_{i-1} = U c (T_i - T_{i-1}) \quad (2)$$

определеняющих изменения теплового потока в промежутках между зонами тепловыделения. Вместе с условием  $q_N = 0$  они полностью определяют структуру фронта, т. е.  $U$  и все значения  $q_i$  и  $T_i$ . Может показаться, что для расчета скорости  $U$  достаточно соотношения (1) для последней зоны, так как  $q_N = 0$ , а  $T_N$ , очевидно, есть температура горения. При этом другие (низкотемпературные) зоны на скорость горения не влияют — обстоятельство, отмеченное Я. Б. Зельдовичем еще в 1942 г. [8]. Тем не менее подобное рассуждение еще не позволяет определить ни действительную структуру фронта, ни скорость горения.

Зависимость потока тепла  $q$  от температуры  $T$  для двухзонного фронта показана на фиг. 1. Температуру первой зоны  $T_1$  в отличие от  $T_2$  (температуры горения) нельзя найти термодинамическим расчетом. При данном значении  $U$  величина  $T_1$ , определяющая скорость первой реакции, должна быть такой, чтобы имело место точное равенство скоростей обеих зон, необходимое в стационарном режиме. Установившееся расстояние  $l$  между зонами задано, таким образом, определенным значением температуры  $T_1$  и однозначно связанного с ней потока  $q_1$ . Эти величины определяются с помощью уравнений типа (1), (2). При увеличении межзонного расстояния  $l$  температура  $T_1$ , а значит, и скорость первой зоны уменьшается, и зоны вновь сближаются. При уменьшении  $l$  рост  $T_1$  ускоряет первую зону и восстанавливает прежнее значение расстояния, так что описанная структура фронта устойчива. Скорость горения есть «нормальная скорость» второй (ведущей) зоны

$$U_2(T_2) = \rho_2 (a_2 k_2 e^{-E_2 / RT_2} F_2)^{1/2}, \quad T_2 = T_0 + \frac{Q_1 + Q_2}{c} \quad (3)$$

С такой же скоростью должна двигаться и первая зона. Ее «нормальная скорость» за счет «собственного» теплового эффекта

$$U_1(T_{10}) = \rho_1 (a_1 k_1 e^{-E_1 / RT_{10}} F_1)^{1/2}, \quad T_{10} = T_0 + Q_1 / c \quad (4)$$

Если  $U_1(T_{10}) < U_2(T_2)$ , вторая зона подогревает первую до температуры  $T_1 > T_{10}$ , повышая тем самым ее скорость до  $U_2(T_2)$ . Но при  $U_1(T_{10}) > U_2(T_2)$  управление первой зоной уже невозможно, она «отрывается» от второй и становится ведущей. Скорость горения  $U = U_1(T_{10})$ .

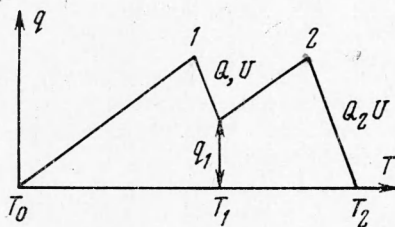
Так как эта величина больше  $U_2(T_2)$ , вторая реакция идет в режиме самовоспламенения [9,10].

С другой стороны, температура  $T_1$  не может быть больше  $T_2$ , и, если величина

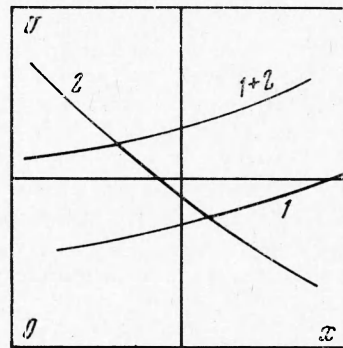
$$U_1(T_2) = \rho_2 (a_2 k_1 e^{-E_1/RT_2} F_{12})^{1/2} \quad (5)$$

оказывается меньше, чем  $U_2(T_2)$ , обе зоны сливаются, скорость однозонного фронта равна  $U_1(T_2)$  [4].

Таким образом, наряду с режимом «управления» (показанным на фиг. 1), в котором ведущей действительно является вторая (высокотемпературная) зона, возможны также режимы «отрыва» (с ведущей первой зоной) и «слияния», когда двухзонный фронт вырождается в однозонный.



Фиг. 1



Фиг. 2

Какой из этих режимов должен осуществиться при данных значениях параметров системы, можно определить, сравнивая нормальные скорости (3) — (5) [4]. При этом надо иметь в виду, что всегда  $U_1(T_2) > U_1(T_{10})$ , так как  $T_2 > T_{10}$ . Поэтому на графике, изображающем зависимость нормальных скоростей от какого-либо параметра  $x$  (пример такого графика показан на фиг. 2), линии  $U_1(T_{10})$  и  $U_1(T_2)$  (линии 1 и 1 + 2 соответственно на фиг. 2) не пересекаются, и 1 + 2 при всех  $x$  лежит выше, чем 1.

Смена режимов отвечает пересечению этих линий линией 2, изображающей зависимость  $U_2(T_2, x)$ . Ее пересечению с верхней линией 1 + 2 отвечает переход режимов управление — слияние ( $2 \leftrightarrow 1 + 2$ ), когда скорость горения  $U$  совпадает с меньшей из двух нормальных скоростей —  $U_2(T_2)$  и  $U_1(T_2)$ . При пересечении линии 2 с нижней линией 1  $U$  совпадает с большей из величин  $U_2(T_2)$  и  $U_1(T_{10})$  (переход режимов  $2 \leftrightarrow 1$ , управление — отрыв). Поэтому ведущей всегда оказывается зона, имеющая среднюю по величине нормальную скорость. Это правило было установлено в [4] при анализе результатов численного интегрирования двухстадийной задачи.

*Варианты зонной структуры.* Переходя к исследованию описанной вначале модели многозонного горения конденсированных систем, заметим, что глубина диспергирования  $\eta_d$  в отличие от других параметров не является заданной величиной, а сама должна определяться решением полной задачи, включающим в себя анализ физико-химических процессов в  $k$ -фазе, вызывающих диспергирование. Такое решение для твердого пористого вещества кратко описано в [3]. С ростом давления  $\eta_d$  убывает. Можно предположить аналогичное поведение  $\eta_d$  и в других случаях, хотя общего исследования диспергирования в настоящее время не существует. Исключив из задачи механизм диспергирования введением  $\eta_d$ , можно вы-

делить эффекты, связанные с многозонностью фронта. В дальнейшем будем пользоваться величиной  $\eta_s = 1 - \eta_d$ , которая растет с ростом давления.

Как сказано выше, в рассматриваемой модели формально возникают четыре зоны тепловыделения.

1. Реакция в неподвижном слое  $k$ -фазы (у поверхности горящего об разца), тепловой эффект  $Q_1\eta_s$ , кинетические параметры —  $k_1$ ,  $E_1$ . Температура поверхности  $T_1$ .

2. Реакция в газе — продукте зоны 1. Параметры —  $Q_2\eta_s$ ,  $k_2$ ,  $E_2$ . Температура в зоне  $T_2$ .

3. Реакция в дыме — частицах  $k$ -фазы, оторванных от поверхности (диспергирование). Параметры —  $Q_1(1 - \eta_s)$ ,  $k_1$ ,  $E_1$ ,  $T_3$ . Зоны 1 и 3 обязательно разделены в пространстве. Плотность тепловыделения в зоне 3 (дисперсная фаза) примерно в  $\rho / \rho_s$  раз меньше, чем в зоне 1 ( $\rho$  и  $\rho_s$  — плотности газа и конденсированного вещества). Чтобы обе зоны двигались с одинаковой скоростью,  $T_3$  должна превышать  $T_1$  на определенную конечную величину.

4. Реакция в газе — продукте зоны 3. Параметры —  $Q_2(1 - \eta_s)$ ,  $k_2$ ,  $E_2$ ,  $T_4 = T_0 + (Q_1 + Q_2) / c$ .

Пока температура  $T_2$  ниже  $T_4$ , зоны 2 и 4 не могут двигаться с одинаковой скоростью. Поэтому эти зоны либо слиты в зону 2 + 4, либо зона 4 слита с зоной 3 (3 + 4). В результате возможны всего три варианта расположения зон тепловыделения во фронте:

$$A - 1 + 2, 3 + 4$$

$$B - 1, 2, 3 + 4$$

$$C - 1, 3, 2 + 4$$

Введем аналогично [4] величины

$$\sigma_E = E_1 / (E_1 + E_2), \quad \sigma_k = k_1 F_1 / (k_1 F_1 + k_2 F_2) \quad (6)$$

Каждый из трех вариантов расположения зон реакции соответствует определенной области значений  $\sigma_k \sigma_E$ , как показано на фиг. 3. Линия I, разделяющая области A и B, задана уравнением

$$(1 / \sigma_k) - 1 = (\rho_s \lambda_s / \rho \lambda) \exp \{ (E_1 / RT_2) [(1 / \sigma_E) - 2] \} \quad (7)$$

( $\lambda_s$  и  $\lambda$  — теплопроводности  $k$ -фазы и газа), а линия II, разделяющая B и C, — уравнением

$$(1 / \sigma_k) - 1 = \exp \{ (E_1 / RT_4) [(1 / \sigma_E) - 2] \} \quad (8)$$

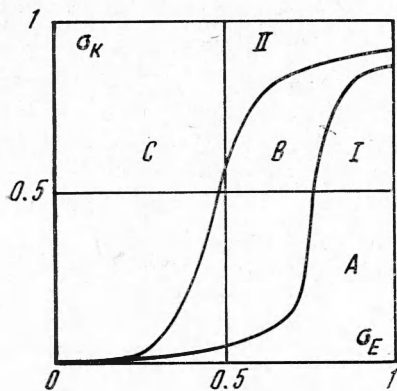
Уравнения (7) и (8) выражают условия слияния зон 1, 2 и 3, 4 соответственно (ср. условие слияния в двухзонном фронте). Ниже своей граничной линии зоны слиты, выше — разделены пространственно.

Положение линии I зависит не только от кинетических параметров, но и от  $\eta_s$ . Однако при изменении  $\eta_s$  топология фиг. 3 не меняется, линии I и II не пересекаются (нигде, кроме начала координат). При их пересечении возникла бы область с расположением зон 1 + 2, 3, 4. Такое расположение невозможно: скорость зоны 1 + 2 меньше скорости зоны 2, которая, в свою очередь, меньше скорости зоны 4.

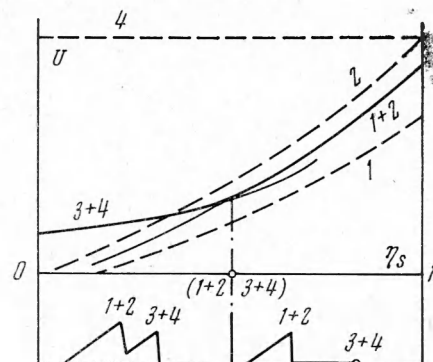
*Зависимость скорости горения от  $\eta_s$ .* После того как выяснено расположение зон тепловыделения во фронте, можно определить  $U(\eta_s)$  для заданных значений кинетических параметров и теплот реакций, т. е. найти критические значения  $\eta_s = (m / n)$ , отвечающие различным переходам (между режимами, в которых ведущими являются  $m$ -я и  $n$ -я зоны соот-

ветственно) типа управление — отрыв. Для возможных в рассматриваемой модели трех вариантов фронта все типы зависимости скорости горения  $U$  от  $\eta_s$  показаны на фиг. 4—6.

Способ построения ясен из самих фигур. Линия  $U(\eta_s)$  состоит из отрезков линий нормальных скоростей. (Эти скорости на фиг. 4—7 изобра-

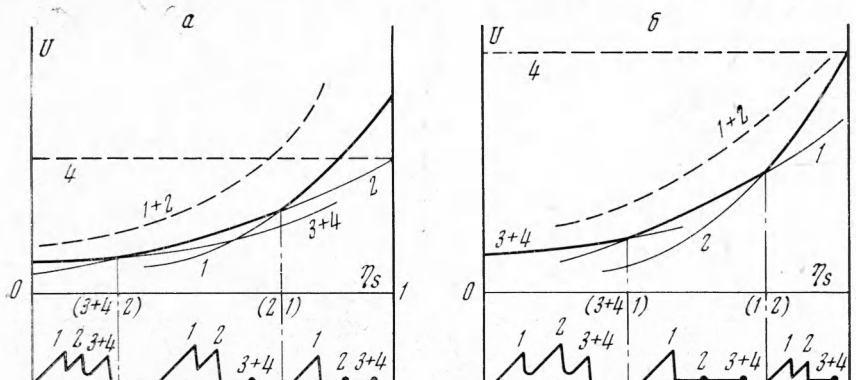


Фиг. 3



Фиг. 4

жаются тонкими сплошными линиями. Иногда для ориентировки нанесены пунктиром также линии нормальных скоростей для зон, отсутствующих в данном варианте фронта.). Выражения для нормальных скоростей различных зон получаются очевидной конкретизацией формул (3) — (5). Для каждого режима в нижней части графиков символически изоб-

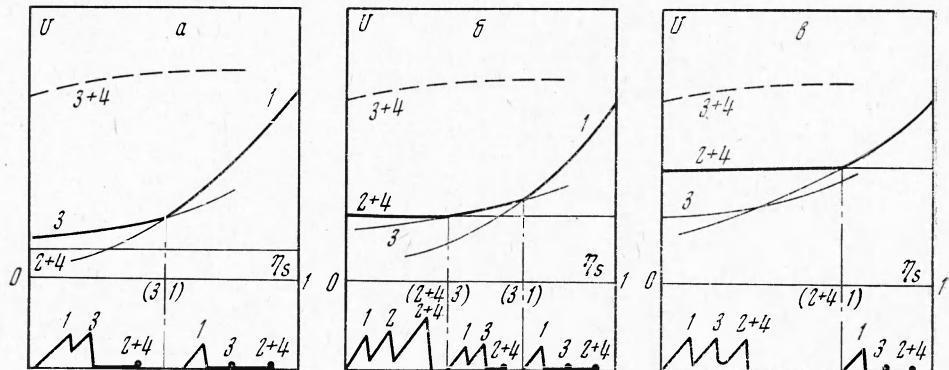


Фиг. 5

ражено распределение потока тепла  $q(T)$  во фронте по типу фиг. 1, точками показано наличие зон тепловыделения в режиме самовоспламенения.

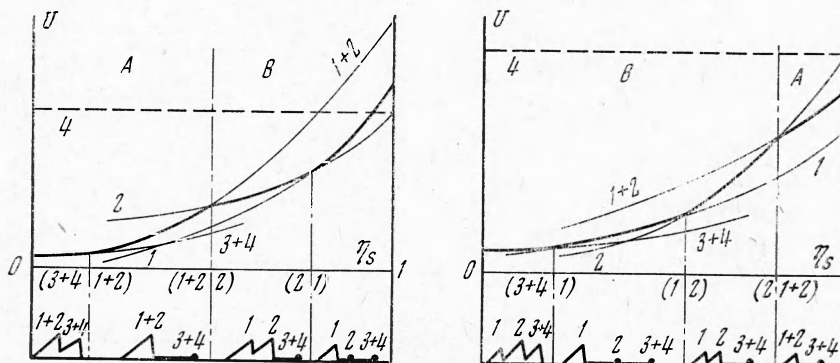
Построение на фиг. 4 выполнено для варианта *A* структуры фронта (область *A* значений  $\sigma_K \sigma_E$  на фиг. 3), линия *I* есть  $U_1(\eta_s)$ , линия *I + 2* —  $U_{1+2}(\eta_s)$  и т. д. Скорость газовой реакции велика, и она проходит сразу же после образования газовых продуктов при реакции в *k*-фазе, так что зона 2 слита с зоной 1, а зона 4 — с зоной 3 (см. диаграммы  $q(T)$  в нижней части фигуры). При  $\eta_s < (I + 2 | 3 + 4)$  ведущей является зона  $3 + 4$ , а при больших  $\eta_s$  — зона  $I + 2$ . Линия 2 везде должна быть выше линии  $I + 2$ , при  $U_2 < U_{1+2}$  во фронте появилась бы зона 2 (вариант *B*). При  $\eta_s = I$   $U_2 = U_4$ .

В области  $C$  значений  $\sigma_k \sigma_E$  скорость реакции в  $k$ -фазе велика по сравнению с газовой. Зоны 1 и 3 расположены во фронте перед зоной  $2 + 4$ . В зависимости от скорости этой последней она, как показано на фиг. 6, либо (б, а) попадает в режим самовоспламенения, либо (б, б, в) в некоторой области  $\eta_s$  оказывается управляющей. Когда  $U_4$  больше максимального значения  $U_1$  (при  $\eta_s = 1$ ), зона  $2 + 4$  — ведущая при всех  $\eta_s$ , что соответствует модели А. Ф. Беляева — Я. Б. Зельдовича [8].



Фиг. 6

Если варианты фронта  $A$  и  $C$  очевидны по крайней мере как предельные случаи, а метод данной работы позволяет лишь определить области их существования и показать резкий характер переходов между режимами, то промежуточный вариант фронта  $B$  обнаруживается только в результате проведенного анализа. В этом варианте газовое пламя (зона 2) предшест-



Фиг. 7

вует сгоранию дыма (зона  $3 + 4$ ). Соответствующие режимы горения показаны на фиг. 5. Линия 4 выше линии  $3 + 4$ , при  $U_4 < U_{3+4}$  появилась бы зона 4 (вариант фронта  $C$ ). Если (5, а) температурная зависимость реакции в  $k$ -фазе сильнее, чем у газофазной реакции,  $\sigma_E > 0.5$ , то режим  $2$  реализуется в «средней» области значений  $\eta_s$  между режимами  $3 + 4$  и  $1$ . При  $\sigma_E < 0.5$  по мере роста  $\eta_s$  следуют режимы  $3 + 4$ ,  $1$  и  $2$  (5, б).

Как отмечалось выше, положение линии  $1$  на фиг. 3 зависит от  $\eta_s$ . Поэтому некоторые точки  $\sigma_k \sigma_E$  могут при одних значениях  $\eta_s$  находиться в области  $A$ , а при других — в области  $B$ . В этом случае при некотором значении  $\eta_s = \eta_*$  происходит перестройка зон тепловыделения во фронте,

как показано на фиг. 7. При такой перестройке (переход типа управление — слияние) ведущей становится зона (2 или 1 + 2), имеющая меньшую скорость. При  $\sigma_E > 0.5$  (фиг. 7, а) зона 2 появляется в области  $\eta_* < \eta_s < 1$ , а при  $\sigma_E < 0.5$  (фиг. 7, б) — в области  $0 < \eta_s < \eta_*$  ( $\eta_*$  есть  $(2 | 1 + 2)$  или  $(1 + 2 | 2)$ ).

Все время предполагалось, что обе реакции экзотермические и обладают сравнимыми по величине теплотами. Если реакция в  $k$ -фазе имеет малый тепловой эффект или эндотермична, из описанных режимов горения остаются только режимы типа управление (со стороны газовой реакции) и слияние. Если же газовая реакция эндотермична, возможны только вариант A (слияние) и режимы варианта B, в которых зона 3 + 4 управляет зоной 2 (см. фиг. 5).

Поступила 25 XI 1971

#### ЛИТЕРАТУРА

1. А н д р е е в К. К. Термическое разложение и горение взрывчатых веществ. М., «Наука», 1966.
2. Б а х м а н Н. Н., Б е л я е в А. Ф. Горение гетерогенных конденсированных систем. М., «Наука», 1967.
3. Х а й к и н Б. И., М е р ж а н о в А. Г. О горении веществ с твердым реакционным слоем. Докл. АН СССР, 1967, т. 173, № 6.
4. Х а й к и н Б. И., Ф и л о н е н к о А. К., Х у д я е в С. И. Распространение пламени при протекании в газе двух последовательных реакций. Физика горения и взрыва, 1968, т. 4, № 4.
5. Ф и л о н е н к о А. К., Х а й к и н Б. И., Х у д я е в С. И. О стадийном горении нелетучих конденсированных веществ. Второй Всесоюзный симпозиум по горению и взрыву, Ереван, 1969. Авторефераты докладов, Черноголовка, 1969, стр. 47.
6. З е л ь д о в и ч Я. Б., Ф р а н к-К а м е н е ц к и й Д. А. Теория теплового распространения пламени. Ж. физ. химии, 1938, т. 12, № 1.
7. Ф р а н к-К а м е н е ц к и й Д. А. Диффузия и теплопередача в химической кинетике. М., «Наука», 1967.
8. З е л ь д о в и ч Я. Б. К теории горения порохов и взрывчатых веществ. ЖЭТФ, 1942, т. 12, вып. 11, 12.
9. З а й д е л ь Р. М., З е л ь д о в и ч Я. Б. О возможных режимах стационарного горения. ПМТФ, 1962, № 4.
10. М е р ж а н о в А. Г., Ф и л о н е н к о А. К. О тепловом самовоспламенении гомогенной газовой смеси в потоке. Докл. АН СССР, 1963, т. 152, № 1.